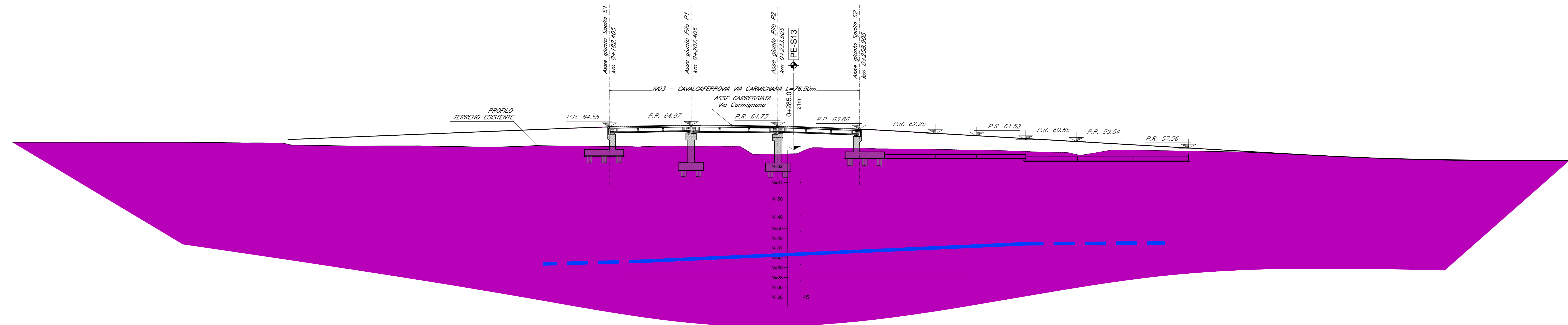
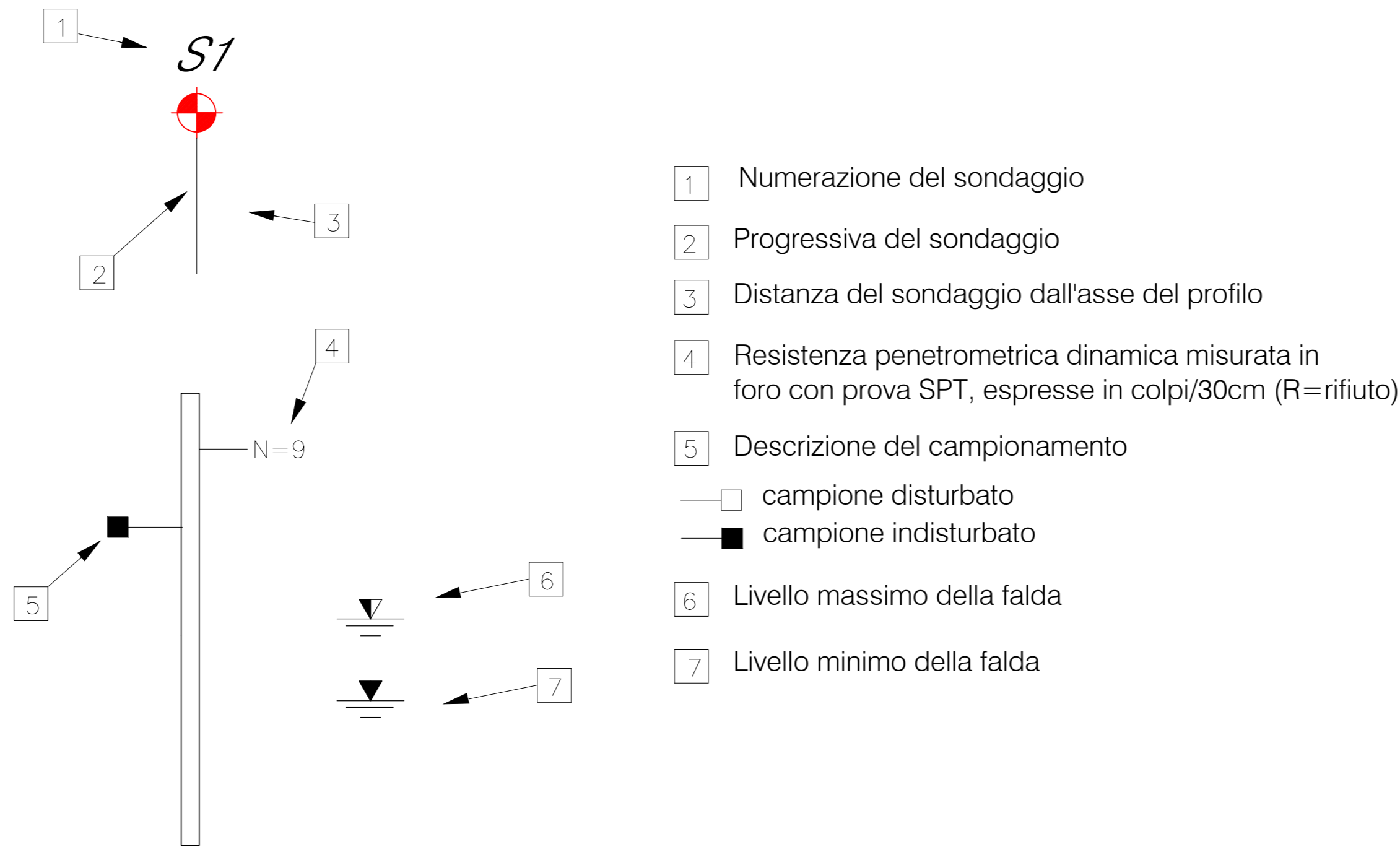


LEGENDA

Tufo Grigio Campano
 Depositi vulcanici di colata glittolica, costituiti da due differenti litofacies a dominante fufacea e cinerica. Lo spessore massimo non è stato accertato (fino ad oltre 50 metri).
Filossilice superiore
 (TGC1) Facies lapidea. Tutti i lapidi di colore giallastro e avana a struttura massiva, con diffuse scorie e pomici da millimetriche a centimetriche, molto vuotose, spesso passanti alla base a tuffi di colore grigio, grigio-rossiccio e grigio-rossiccio, a struttura massiva, con diffuse pomici e scorie di dimensioni millimetriche e centimetriche e subolivati cristalli e foci lavici. I tuffi grigi affiorano in spessori importanti lungo le rive del Rio Secco, Isclero e San Giorgio. Spessore massimo accertato di circa 15 m. (TGC2) Facies distale della colata filossilica, con grad di cementazione variabili, mediamente bassi.
 (TGC3) Facies "sottile". Ceneri a granulometria sabbiosa e sabbioso-limosa di colore prevalentemente grigio, localmente rossiccio e giallastro, a struttura indurita, con diffuse pomici e scorie di dimensioni millimetriche e centimetriche. Localmente è distinguibile, raramente in affioramento, una sub-facies a granulometria prevalentemente limoso-argillosa con tuffi e livelli di pomici biancastre detritate (TGC4). Spessore massimo non accertato (fino ad oltre 30m).
 (TGC5) Costituiscono limiti di permeabilità per gli acquiferi giustapposti verticalmente o lateralmente e, nello specifico contesto idrogeologico di riferimento, rappresentano gli acquedotti di una certa rilevanza per i terreni del complesso vulcanico-lavico; non sono presenti falde o corpi idrici sotterranei di una certa rilevanza. La permeabilità, per porosità e fratturazione, è variabile da bassa a media.
Coefficiente di permeabilità: $1 \cdot 10^{-4} < k < 1 \cdot 10^{-6} \text{ m/s}$
 (TGC6) Costituiscono acquiferi sovrati di elevata trasmissività, piuttosto eterogenei ed anisotropi; sono sede di falde idriche di notevole rilevanza, localmente frantumate, ma generalmente a deflusso unitario, spesso confinate dai terreni del complesso vulcanico-lavico e vulcanoclastico-fine. La permeabilità, esclusivamente per porosità, è variabile da bassa a media.
Coefficiente di permeabilità: (TGC6a) $1 \cdot 10^{-4} < k < 1 \cdot 10^{-6} \text{ m/s}$ - (TGC6b) $1 \cdot 10^{-7} < k < 1 \cdot 10^{-9} \text{ m/s}$
 --- Livello della falda
 - - - - Livello ipotizzato della falda

SONDAGGIO GEOTECNICO



| NUMERO SEZIONI | 1 | 2 | 3 | 4 | 5 | 6 | 7 | Spalla A | Pila 1 | Pila 2 | Spalla B | 12 | 13 | 14 | 15 | 16 | 17 | 18 | 19 | 20 |
|------------------------|-----------|--------|----------------------|--------|---------------------------------|---------|----------------------|----------|---------------|---------|--|---------|----------------------|---------|--|---------|----------------------|---------|-----------|---------|
| DISTANZE PARZIALI | | 25.000 | 25.000 | 25.000 | 25.000 | 25.000 | 25.000 | 32.384 | 25.000 | 26.500 | 25.000 | 16.100 | 25.000 | 25.000 | 25.000 | 25.000 | 25.000 | 25.000 | 25.000 | 25.863 |
| DISTANZE PROGRESSIVE | 0.000 | 25.000 | 50.000 | 75.000 | 100.000 | 125.000 | 150.000 | 182.400 | 207.400 | 233.900 | 258.900 | 275.000 | 300.000 | 325.000 | 350.000 | 375.000 | 400.000 | 425.000 | 450.000 | 475.863 |
| QUOTE TERRENO | 59.810 | 59.803 | 59.795 | 59.617 | 58.731 | 58.692 | 58.417 | 58.525 | 58.576 | 56.226 | 56.031 | 57.795 | 57.352 | 56.131 | 57.284 | 56.874 | 55.727 | 54.774 | 54.317 | 54.225 |
| QUOTE PROGETTO | 59.810 | 59.803 | 59.842 | 60.350 | 61.311 | 62.311 | 63.311 | 64.549 | 64.868 | 64.729 | 63.860 | 62.984 | 61.534 | 60.084 | 58.634 | 57.184 | 55.752 | 54.727 | 54.271 | 54.226 |
| DIFFERENZA DI QUOTA | 0.000 | 0.000 | 0.047 | 0.733 | 2.580 | 3.619 | 4.894 | 6.024 | 6.392 | 8.503 | 5.829 | 5.249 | 4.182 | 3.953 | 1.350 | 0.310 | 0.025 | -0.047 | -0.046 | 0.001 |
| ETTOMETRICHE | 1 | | 2 | | 3 | | 4 | | | | | | | | | | | | | |
| ANDAMENTO PLANIMETRICO | L= 61.871 | | A= 55.000 Sv= 25.208 | | Sv= 66.395 a=35.2235 R= 120.000 | | A= 55.000 Sv= 25.208 | | L= 80.032 | | A= 52.000 Sv= 18.027 Sv= 38.866 a=16.4954 R= 150.000 | | A= 52.000 Sv= 18.027 | | L= 7.000 A= 94.000 Sv= 31.557 Sv= 35.085 a=7.9772 R= 280.000 | | A= 93.500 Sv= 31.222 | | L= 37.365 | |
| ANDAMENTO CIGLI | SX | | 2.742% | | 2.742% | | 2.500% 2.500% | | 2.500% 2.500% | | 2.500% 2.500% | | 2.500% 2.500% | | 2.500% 2.500% | | 2.500% | | -2.500% | |
| | DX | | -2.500% | | -2.742% | | -2.742% | | -2.500% | | -2.500% | | -2.500% | | -2.500% | | -2.500% | | -2.500% | |

ELABORATI DI RIFERIMENTO

| DESCRIZIONE | CODICE |
|---|-------------------------------|
| Carta geologica - Tav. 1 di 3 | IFIN.01.E.ZZ.N5.GE.00.0.1.001 |
| Carta geologica - Tav. 2 di 3 | IFIN.01.E.ZZ.N5.GE.00.0.1.002 |
| Carta geologica - Tav. 3 di 3 | IFIN.01.E.ZZ.N5.GE.00.0.1.003 |
| Carta idrogeologica - Tav. 1 di 3 | IFIN.01.E.ZZ.N5.GE.00.0.2.001 |
| Carta idrogeologica - Tav. 2 di 3 | IFIN.01.E.ZZ.N5.GE.00.0.2.002 |
| Carta idrogeologica - Tav. 3 di 3 | IFIN.01.E.ZZ.N5.GE.00.0.2.003 |
| Carta geomorfologica - Tav. 1 di 3 | IFIN.01.E.ZZ.N5.GE.00.0.3.001 |
| Carta geomorfologica - Tav. 2 di 3 | IFIN.01.E.ZZ.N5.GE.00.0.3.002 |
| Carta geomorfologica - Tav. 3 di 3 | IFIN.01.E.ZZ.N5.GE.00.0.3.003 |
| Profilo geologico e idrogeologico Asse Principale - Tav. 1 di 5 | IFIN.01.E.ZZ.FZ.GE.00.0.1.001 |
| Profilo geologico e idrogeologico Asse Principale - Tav. 2 di 5 | IFIN.01.E.ZZ.FZ.GE.00.0.1.002 |
| Profilo geologico e idrogeologico Asse Principale - Tav. 3 di 5 | IFIN.01.E.ZZ.FZ.GE.00.0.1.003 |
| Profilo geologico e idrogeologico Asse Principale - Tav. 4 di 5 | IFIN.01.E.ZZ.FZ.GE.00.0.1.004 |
| Profilo geologico e idrogeologico Asse Principale - Tav. 5 di 5 | IFIN.01.E.ZZ.FZ.GE.00.0.1.005 |
| Profilo geologico e idrogeologico Linea storica - Tav. 1 di 2 | IFIN.01.E.ZZ.FZ.GE.00.0.1.006 |
| Profilo geologico e idrogeologico Linea storica - Tav. 2 di 2 | IFIN.01.E.ZZ.FZ.GE.00.0.1.007 |
| Profilo geologico e idrogeologico Finestra uscita di emergenza km 3+772 | IFIN.01.E.ZZ.FZ.GE.00.0.1.008 |
| Profilo geologico e idrogeologico Finestra uscita di emergenza km 5+498 | IFIN.01.E.ZZ.FZ.GE.00.0.1.009 |
| Cavalcaferrovia al km 2+122.592 - Profilo geologico e idrogeologico | IFIN.01.E.ZZ.FZ.GE.00.0.1.010 |
| Cavalcaferrovia al km 2+220.334 - Profilo geologico e idrogeologico | IFIN.01.E.ZZ.FZ.GE.00.0.1.011 |
| Cavalcaferrovia al km 13+276.520 - Profilo geologico e idrogeologico | IFIN.01.E.ZZ.FZ.GE.00.0.1.012 |
| Planimetria con ubicazione delle indagini - Tav. 1 di 5 | IFIN.01.E.ZZ.P6.GE.00.0.5.001 |
| Planimetria con ubicazione delle indagini - Tav. 2 di 5 | IFIN.01.E.ZZ.P6.GE.00.0.5.002 |
| Planimetria con ubicazione delle indagini - Tav. 3 di 5 | IFIN.01.E.ZZ.P6.GE.00.0.5.003 |
| Planimetria con ubicazione delle indagini - Tav. 4 di 5 | IFIN.01.E.ZZ.P6.GE.00.0.5.004 |
| Planimetria con ubicazione delle indagini - Tav. 5 di 5 | IFIN.01.E.ZZ.P6.GE.00.0.5.005 |

CARATTERISTICHE DEI MATERIALI

NOTE GENERALI

COMMITTENTE: **RFI** RETE FERROVIARIA ITALIANA GRUPPO FERROVIE DELLO STATO ITALIANO

DIREZIONE LAVORI: **ITALFERR** GRUPPO FERROVIE DELLO STATO ITALIANO

APPALTATORE: **CONSORZIO CFT** **PIZZAROTTI**

PROGETTAZIONE: **PIZZAROTTI** ING. GEO. MASSIMO PIETRANTONI RESPONSABILE DISEGNO E GEOMETRIA
 DIRETTORE DELLA PROGETTAZIONE: **PIZZAROTTI** ING. PIETRO MAZZOLI RESPONSABILE PER LA VERIFICA PRESSIONE SPECIALISTICA

PROGETTO ESECUTIVO

ITINERARIO NAPOLI-BARI RADDOPPIO TRATTA CANCELLO-BENEVENTO LOTTO FUNZIONALE CANCELLO-FRASSO TELESINO E VARIANTE ALLA LINEA ROMA-NAPOLI VIA CASSINO NEL COMUNE MADDALONI

GEOTECNICA
 Cavalcaferrovia al km 2+220.334 - Profilo geologico e idrogeologico

APPALTATORE: **CONSORZIO CFT** **PIZZAROTTI** **PIZZAROTTI**
 INDIRIZZO TECNICO: **PIZZAROTTI** **PIZZAROTTI**
 DATA: 22/09/2018

SCALA: 1:500

| COMMESSA | LOTTO | FASE | ENTE TIPO DOC. | OPERA/DISCIPLINA | PROGR. | REV. |
|----------|-------|------|----------------|------------------|--------|------|
| IFIN | 01 | E | ZZ | FZ | GE | 00 |
| | | | | | | 01 |
| | | | | | | A |

| Rev. | Descrizione | Redatto | Data | Verificato | Data | Approvato | Data | Autore/Rev. Data |
|------|-------------|-------------|------------|-------------|------------|------------|------------|------------------------|
| A | svessone | M. Pisanoni | 22/09/2018 | M. Pisanoni | 22/09/2018 | P. Mazzoli | 22/09/2018 | M. Pisanoni 22/09/2018 |

File: IFIN.01.E.ZZ.FZ.GE.00.0.1.011.A.dwg In. Elab.